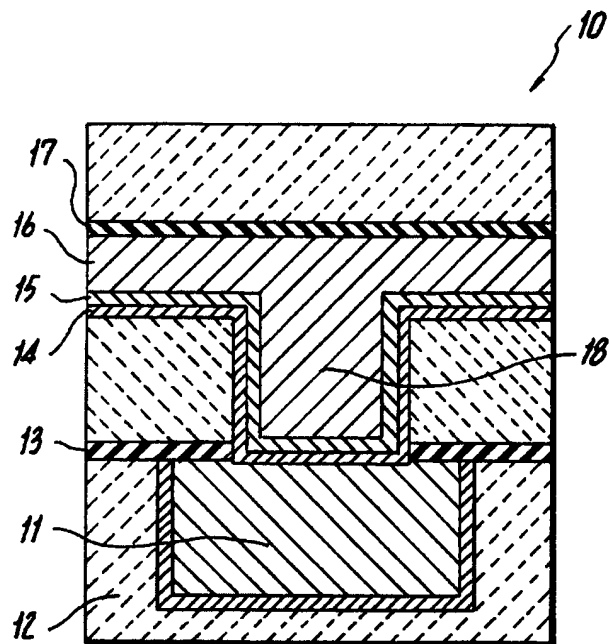
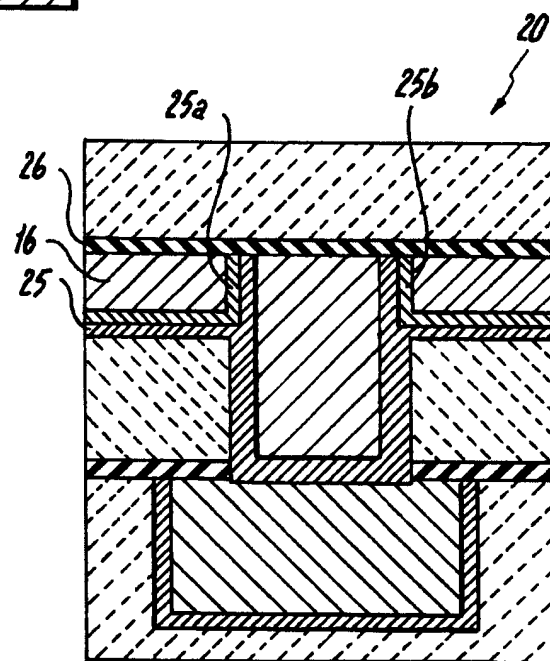


Chih-Chao Yang, et al  
(RMT) YOR920030506US1  
1/13



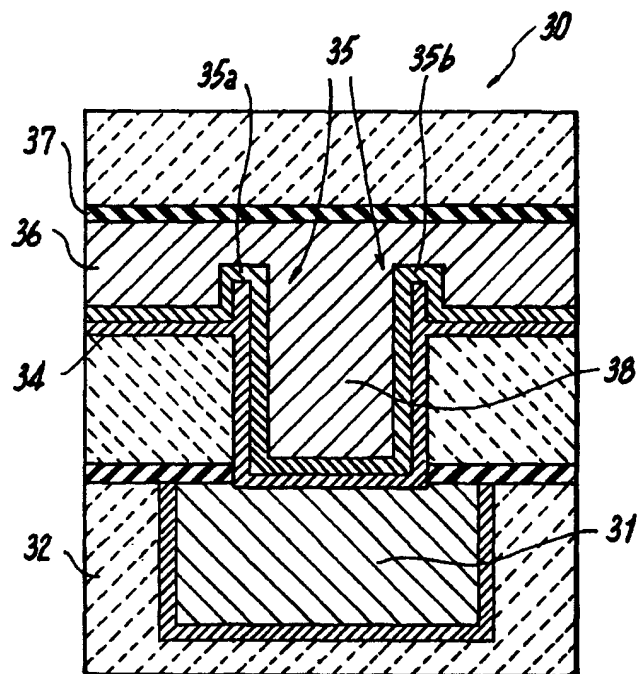
**FIG. 1**  
**Prior Art**



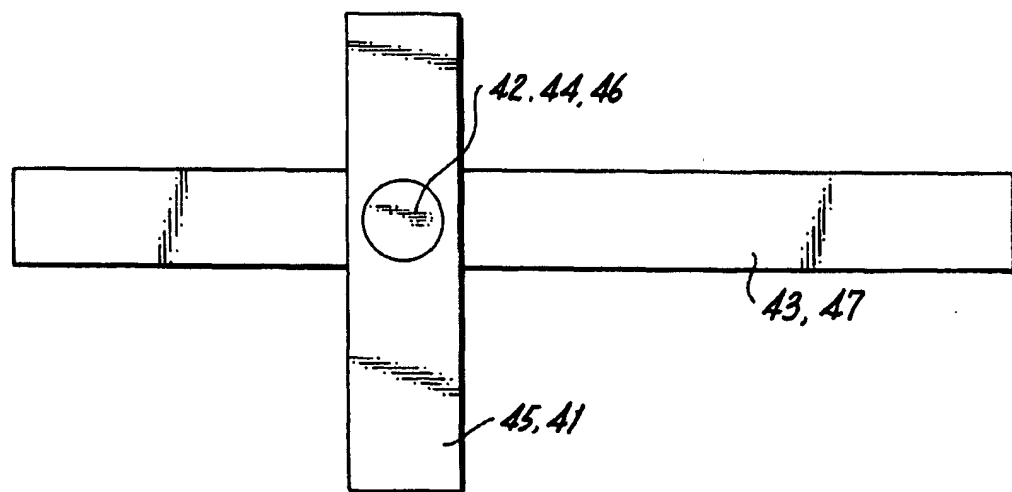
**FIG. 2**  
**Prior Art**

Y0R920030506US1

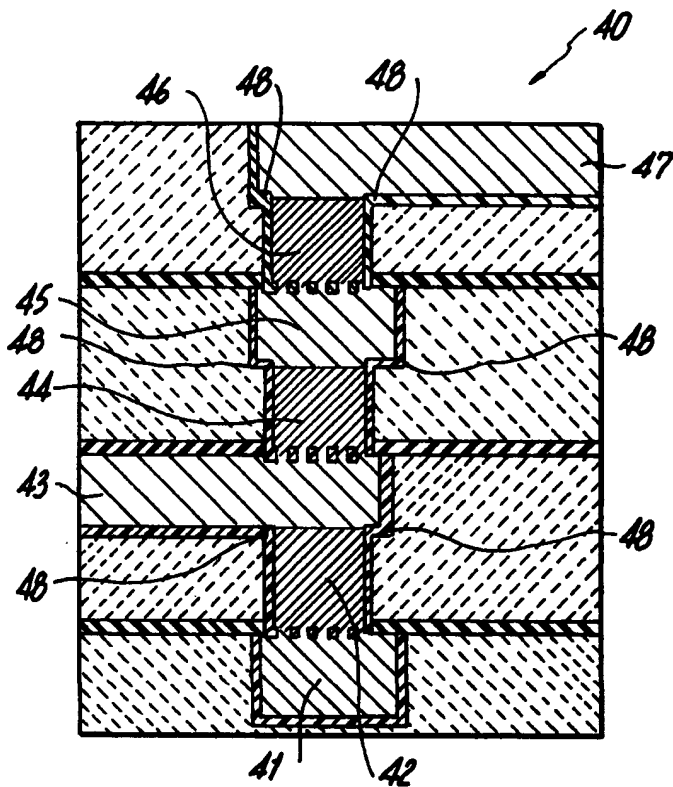
2/13



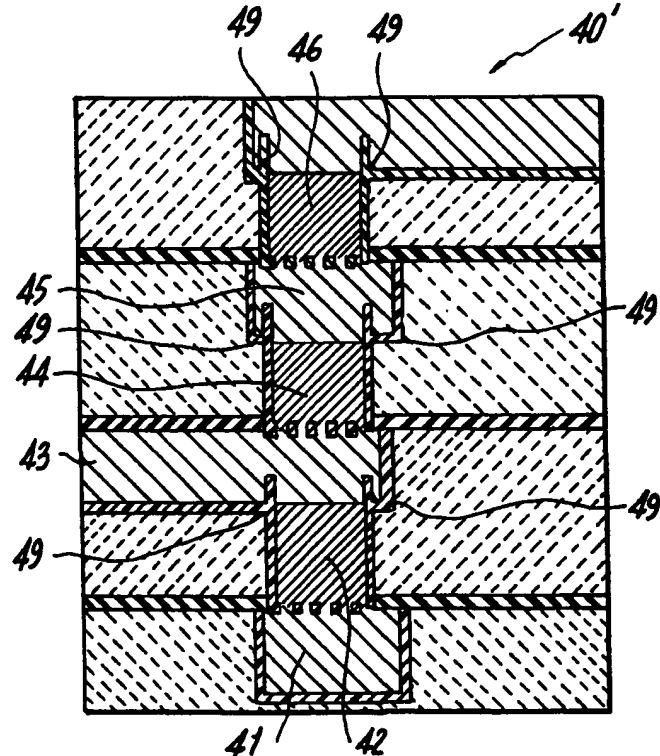
**FIG. 3**



**FIG. 4A**



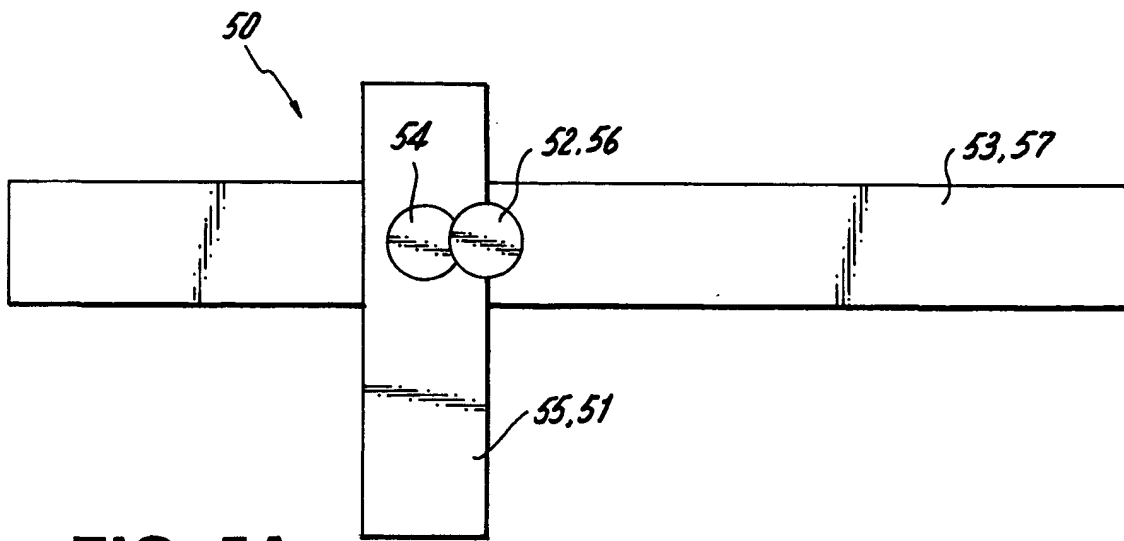
**FIG. 4B**



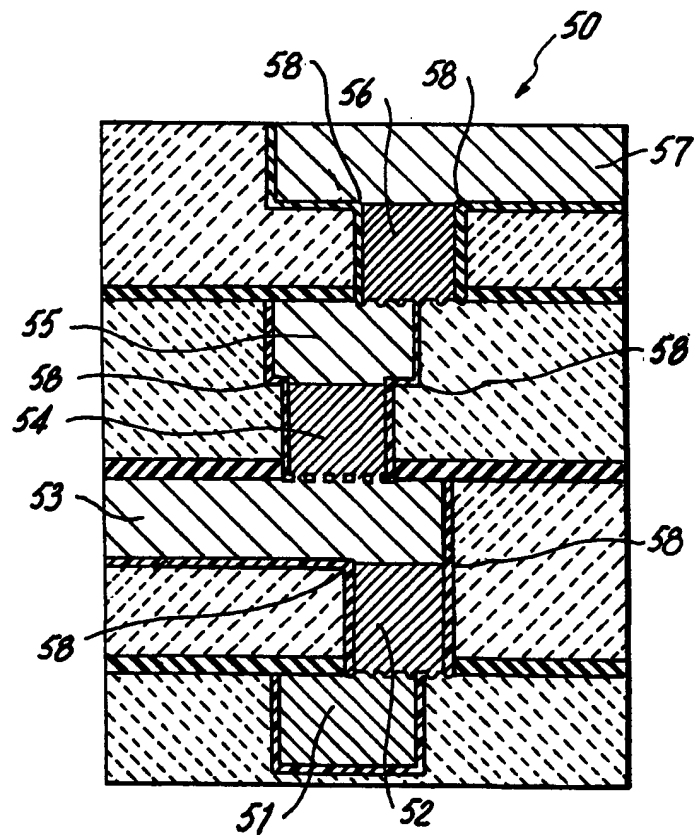
**FIG. 4C**

Y0R920030506US1

4/13



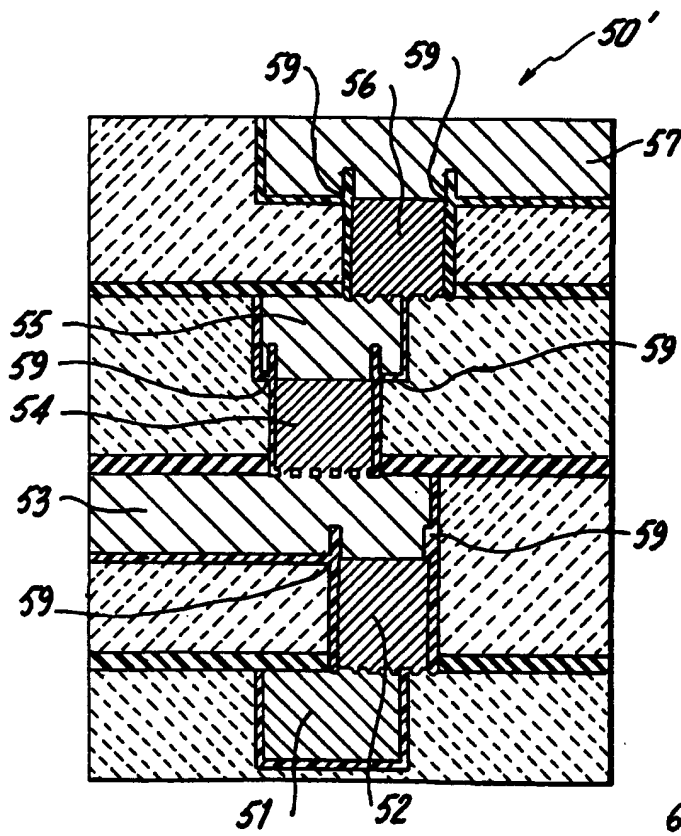
**FIG. 5A**



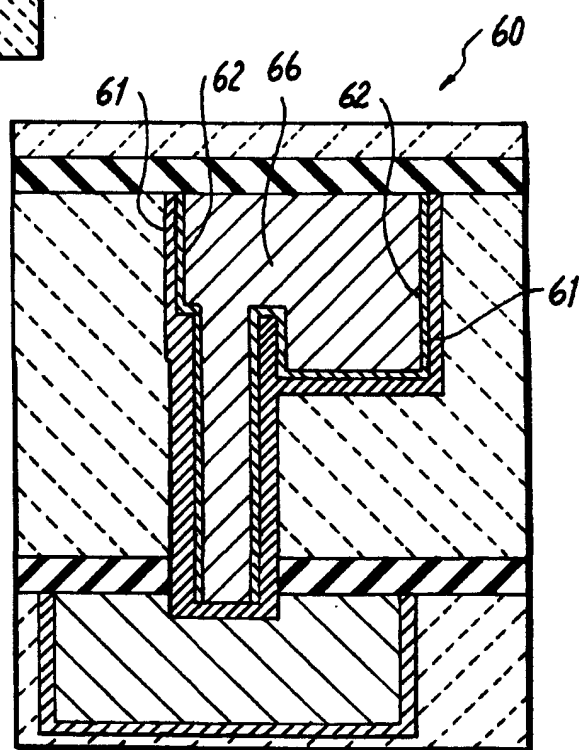
**FIG. 5B**

Y0R920030506US1

5/13



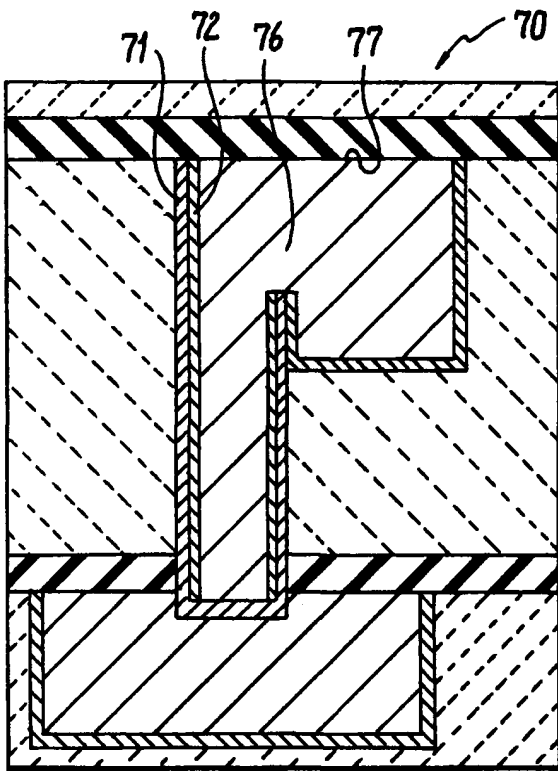
**FIG. 5C**



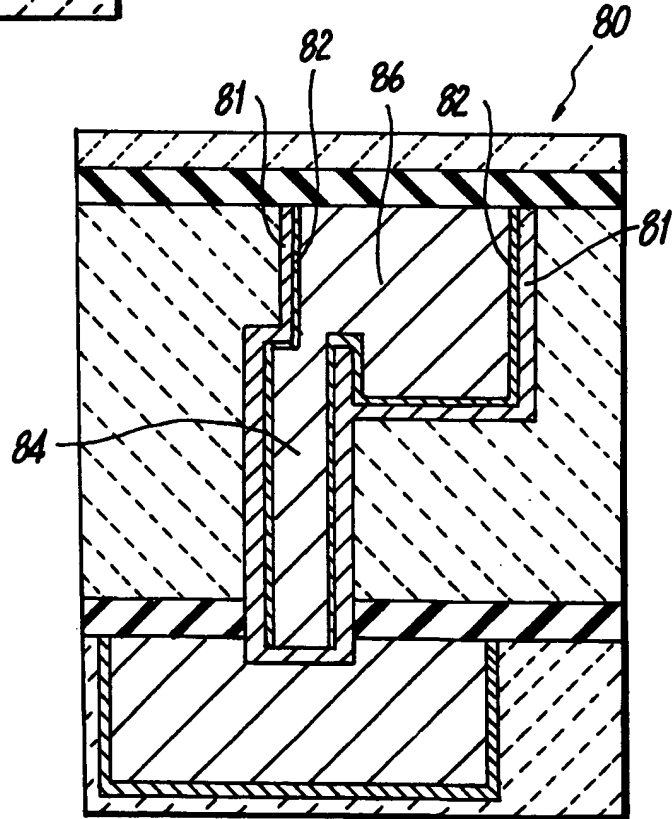
**FIG. 6**

Y0R920030506US1

6/13



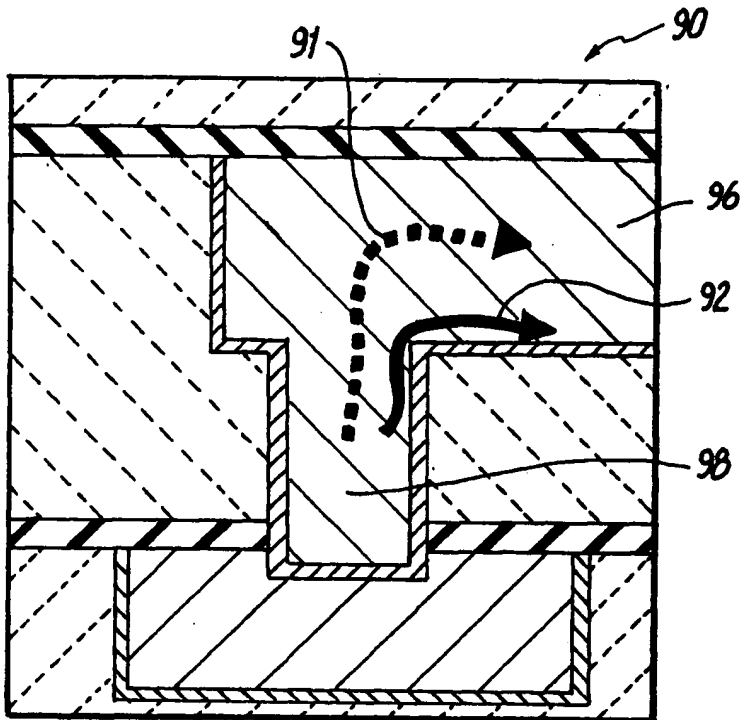
**FIG. 7**



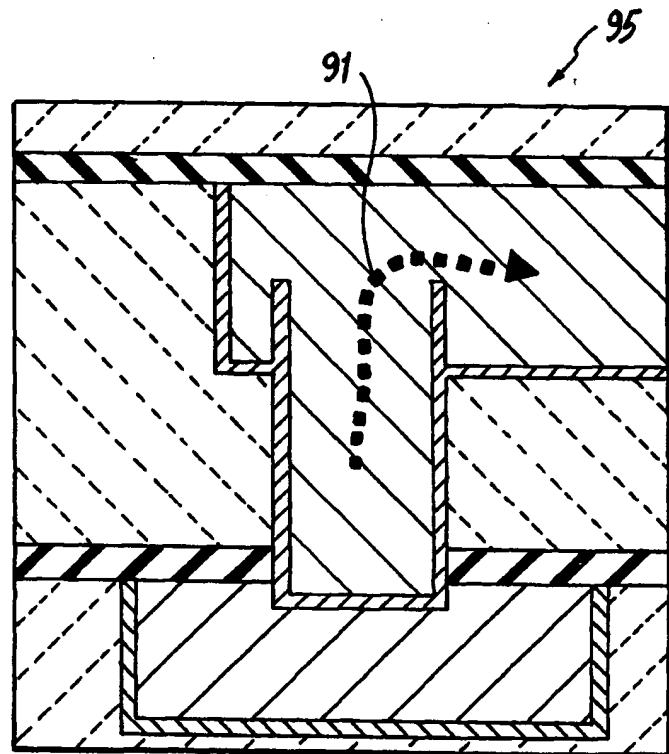
**FIG. 8**

Y0R920030506US1

7/13



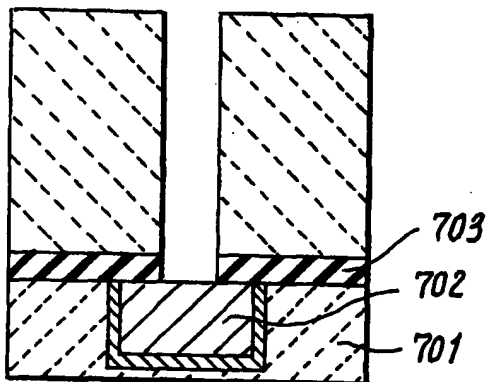
**FIG. 9A**



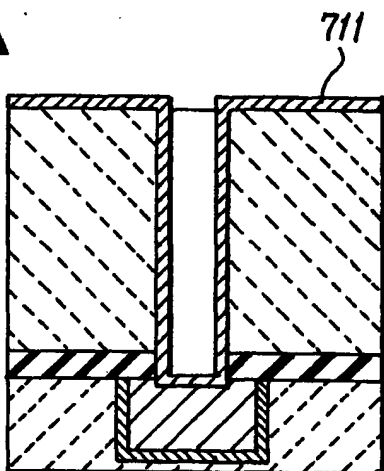
**FIG. 9B**

Y0R920030506US1

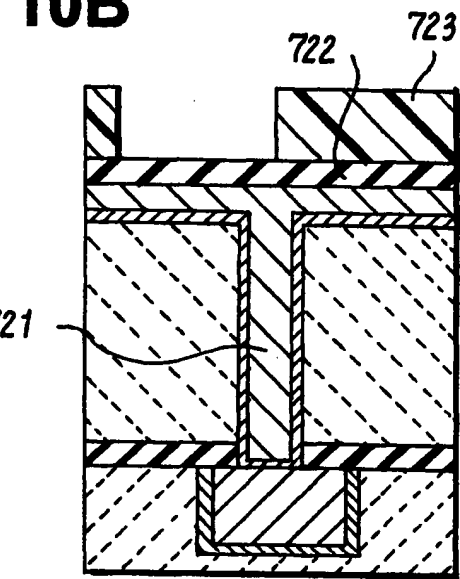
8/13



**FIG. 10A**



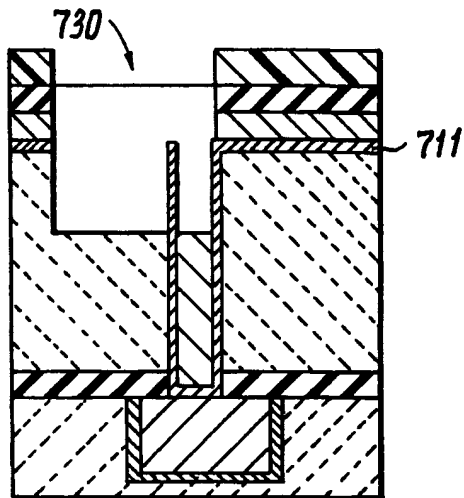
**FIG. 10B**



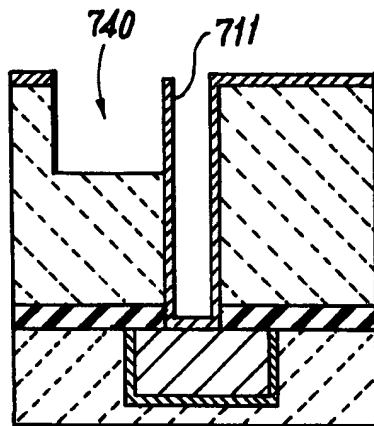
**FIG. 10C**

Y0R920030506US1

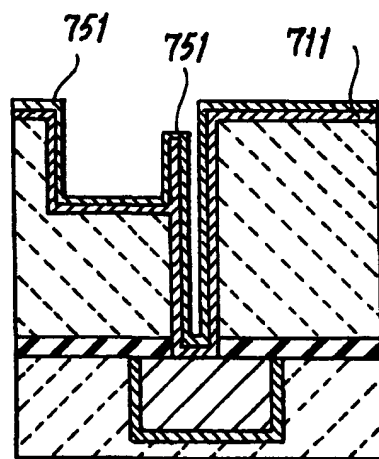
9/13



**FIG. 10D**



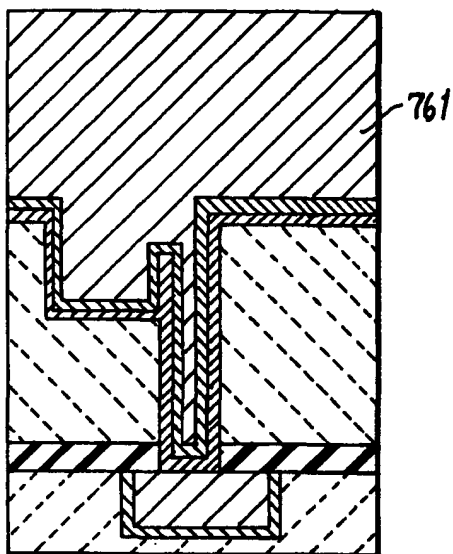
**FIG. 10E**



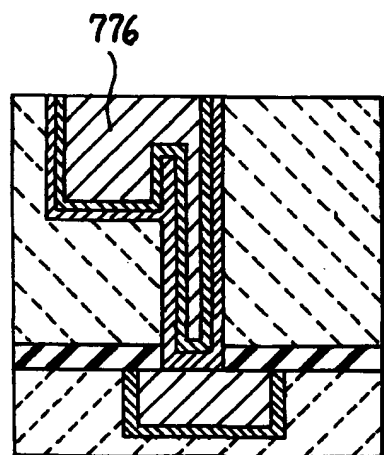
**FIG. 10F**

Y0R920030506US1

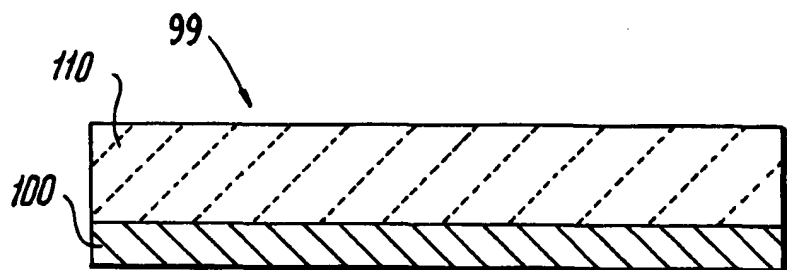
10/13



**FIG. 10G**



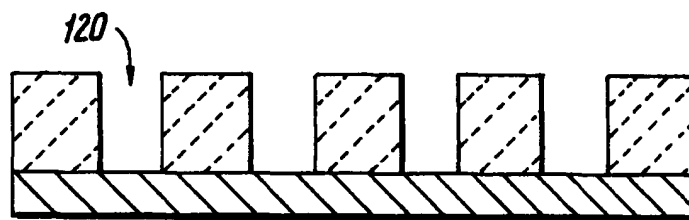
**FIG. 10H**



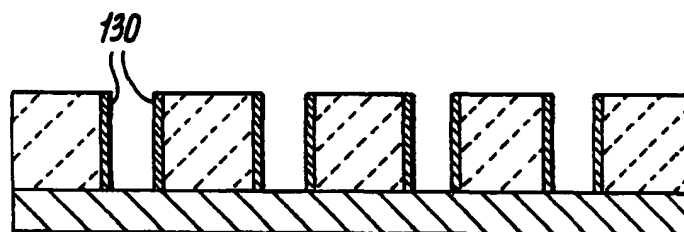
**FIG. 11A**

Y0R920030506US1

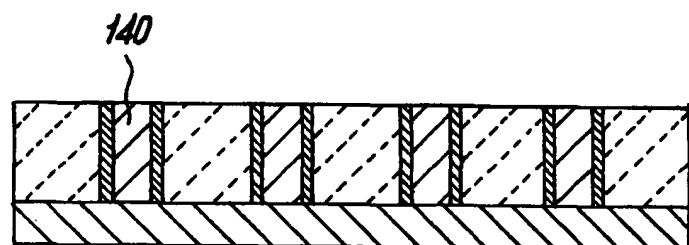
11/13



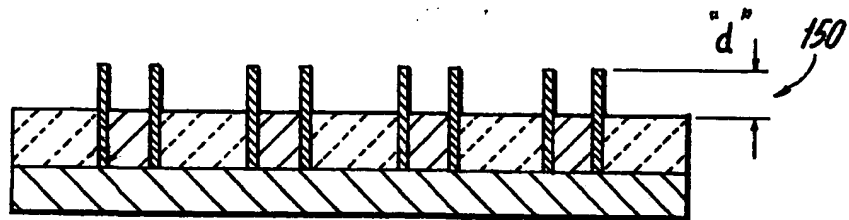
**FIG. 11B**



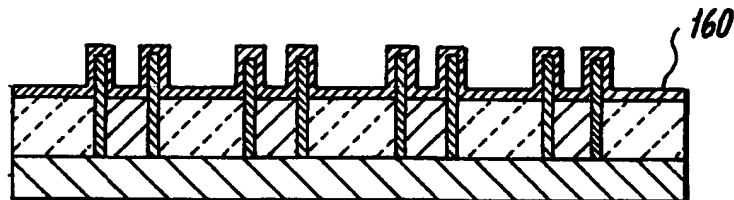
**FIG. 11C**



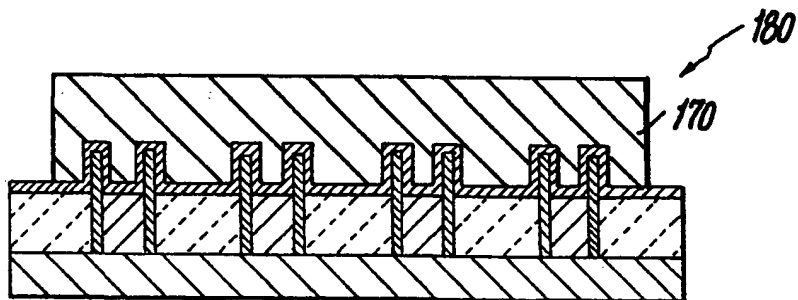
**FIG. 11D**



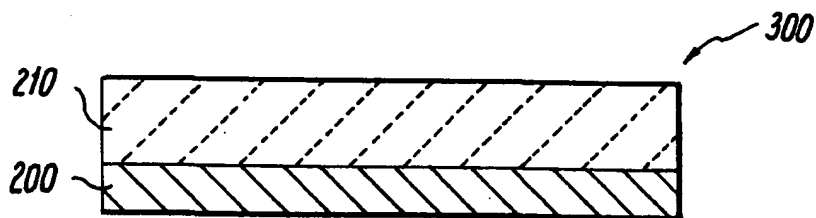
**FIG. 11E**



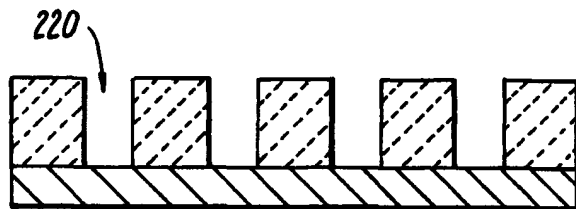
**FIG. 11F**



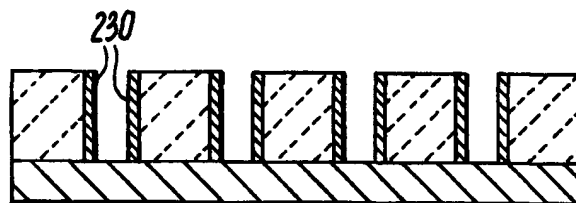
**FIG. 11G**



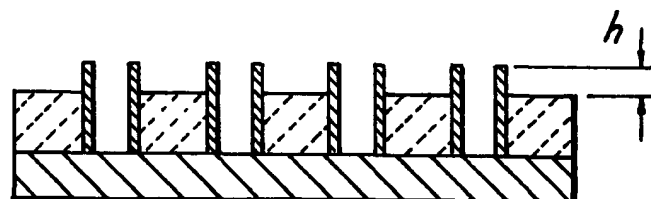
**FIG. 12A**



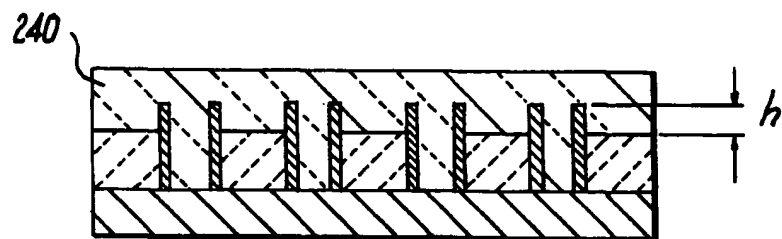
**FIG. 12B**



**FIG. 12C**



**FIG. 12D**



**FIG. 12E**